

Controle de trajetórias de um veículo submarino autônomo com estados estimados.

Vinícius B. Falchetto Prof. Dr. Janito Vaqueiro Ferreira

Universidade Estadual de Campinas - UNICAMP

28/07/2016

Sumário

- 1 Introdução
- 2 Definição do Problema
- 3 Modelagem Matemática
- 4 Filtragem
- 5 Controle de Trajetórias
- 6 Resultados
- 7 Conclusões

Motivação

- Submarinos são instrumentos para a humanidade explorar o meio aquático.
- História: desde grécia antiga até em tempos modernos como máquinas de guerra (séc. XX).
- A recente revolução em tecnologias computacionais de baixo custo e pequeno porte: robótica móvel.
- Os AUVs aparecem na conjunção do desenvolvimento da robótica móvel e os interesses de exploração:
 - militar: defesa, espionagem, minas marinhas
 - economia: mineração, óleo e gás



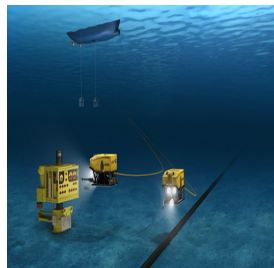
Motivação

- Submarinos são instrumentos para a humanidade explorar o meio aquático.
- História: desde grécia antiga até em tempos modernos como máquinas de guerra (séc. XX).
- A recente revolução em tecnologias computacionais de baixo custo e pequeno porte: robótica móvel.
- Os AUVs aparecem na conjunção do desenvolvimento da robótica móvel e os interesses de exploração:
 - militar: defesa, espionagem, minas marinhas
 - economia: mineração, óleo e gás



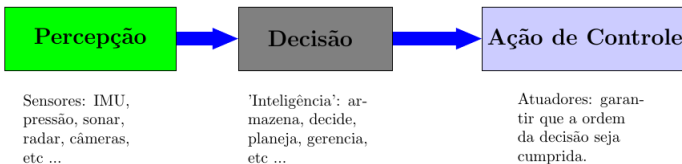
Motivação

- Submarinos são instrumentos para a humanidade explorar o meio aquático.
- História: desde grécia antiga até em tempos modernos como máquinas de guerra (séc. XX).
- A recente revolução em tecnologias computacionais de baixo custo e pequeno porte: robótica móvel.
- Os AUVs aparecem na conjunção do desenvolvimento da robótica móvel e os interesses de exploração:
 - militar: defesa, espionagem, minas marinhas
 - economia: mineração, óleo e gás



Motivação

- A maioria das tarefas de exploração referem à inspeção de estruturas, ambientes, seres vivos, etc...
- LMA e ENIB-Fr (RSM): AUV de pequeno porte, baixo consumo energético e poucos sensores (IMU e pressão).
- Aplicação do RSM: inspeção de turbinas, risers(restrição de espaço)
- Em geral, as camadas de um AUV:



Objetivos

- **O objetivo:** algoritmos do bloco de ação de controle.
- A implementação de um modelo dinâmico representativo.
- O desenvolvimento de um filtro de **identificação** das correntes marinhas.
- A construção de um filtro de estimação de estados para a **localização** do AUV.
- A implementação de uma **lei de controle** não linear para rastreamento de trajetórias.

Em resumo:

Resolver o problema de controle de trajetórias com influência de efeitos externos e que considera as restrições de um sistema embarcado.

Problema de controle de trajetórias

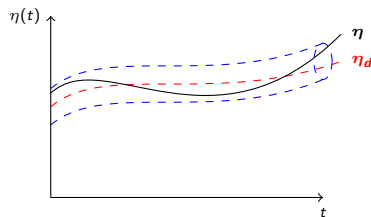
Obter lei de controle para o problema de rastreamento de trajetórias de um veículo submarino.

Problema de rastreamento de trajetória:

$$\|\boldsymbol{\eta}(t) - \boldsymbol{\eta}_d(t)\| \rightarrow \epsilon \quad \text{quando} \quad t \rightarrow \infty$$

Veja que a trajetória do veículo fica no interior de um tubo centrado em $\boldsymbol{\eta}_d(t)$

- $\boldsymbol{\eta}_d(t)$ em $t \in [0, \infty)$ trajetória desejada
- $\boldsymbol{\eta}(t) = [\mathbf{p}^\top, \mathbf{q}^\top]^\top$ é a trajetória do veículo



Para o problema de controle é **necessário** conhecer os estados do sistema!

Problema de Filtragem de Estados

Nem todos os estados (posição e velocidades lineares) são medidos!

Implementar algoritmo que estime todos os estados do veículo a partir de sensores embarcados no veículo.

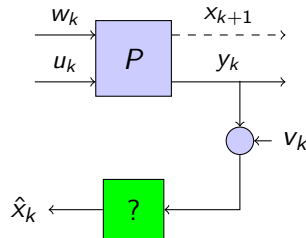
Seja o sistema não linear :

$$P \begin{cases} x_{k+1} = f(x_k) + w_k \\ y_k = h(x_k) + v_k \end{cases}$$

onde as medidas y_0, \dots, y_k são conhecidas.

Problema de filtragem:

- Qual a melhor estimativa de x_k apesar dos distúrbios?



Problema de Filtragem de Correntes Marinhas

As correntes marinhas influenciam muito no desempenho do sistema de controle.

Estimar correntes marinhas:

- Sejam as correntes constantes: ${}^{\mathcal{I}}\mathbf{V}_c$
- Dada a estimativa do estado do veículo: $\hat{\boldsymbol{\eta}}$ e $\hat{\boldsymbol{\nu}}_r$

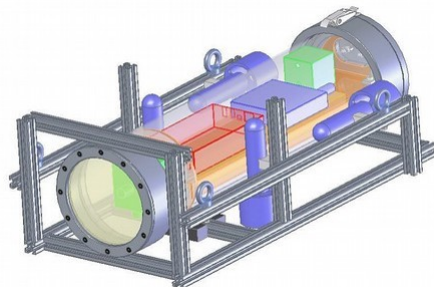
Implementar método para encontrar estimativa ${}^{\mathcal{I}}\hat{\mathbf{V}}_c(t)$:

$$\|{}^{\mathcal{I}}\mathbf{V}_c - {}^{\mathcal{I}}\hat{\mathbf{V}}_c(t)\| \rightarrow \epsilon \quad \text{quando} \quad t \rightarrow t_1 \text{ (tempo finito)}$$

Modelo Matemático

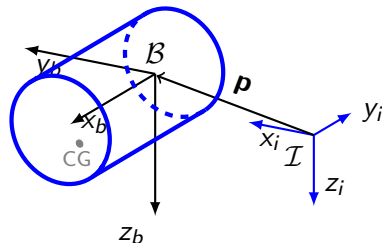
O modelo do AUV da Ecole Nationale d'Ingénieurs de Brest (ENIB) em cooperação com o LMA da Unicamp.

- manobrável
- corpo rígido cilíndrico
- correntes marinhas constantes
- sem efeitos de superfície e leito
- completamente atuado



Cinemática

- Referencial Inercial: \mathcal{I}
- Referencial fixo ao AUV: \mathcal{B}
- **Quaternions:** sem singularidades
- Variáveis padronizadas: SNAME(1950)



$$\eta = [{}^{\mathcal{I}}\mathbf{p}^{\top}, \mathbf{q}^{\top}], \quad {}^{\mathcal{I}}\mathbf{p}^{\top} = [x, y, z], \quad \mathbf{q}^{\top} = [q_0, q_1, q_2, q_3]$$

$$\nu = [{}^{\mathcal{B}}\mathbf{v}^{\top}, {}^{\mathcal{B}}\mathbf{w}^{\top}], \quad {}^{\mathcal{B}}\mathbf{v}^{\top} = [u, v, w], \quad {}^{\mathcal{B}}\mathbf{w}^{\top} = [p, q, r]$$

$$\tau = [{}^{\mathcal{B}}\mathbf{f}^{\top}, {}^{\mathcal{B}}\mathbf{m}^{\top}], \quad {}^{\mathcal{B}}\mathbf{f}^{\top} = [X, Y, Z], \quad {}^{\mathcal{B}}\mathbf{m}^{\top} = [K, L, M]$$

Cinemática: Translação

Quaternion de rotação: $\mathbf{q} = [q_0, \vec{q}] \in \mathbb{H}$, $|\mathbf{q}| = 1$.

Transformação entre referenciais por produto de quaternion:

$${}^{\mathcal{I}}\bar{\dot{\mathbf{p}}} = \mathbf{q} \otimes {}^{\mathcal{B}}\bar{\mathbf{v}} \otimes \mathbf{q}^*$$

Matricialmente:

$$\dot{\mathbf{p}} = {}^{\mathcal{I}}\mathbf{R}_{\mathcal{B}}(\mathbf{q}) {}^{\mathcal{B}}\mathbf{v}$$

onde,

$${}^{\mathcal{I}}\mathbf{R}_{\mathcal{B}}(\mathbf{q}) = \begin{bmatrix} 1 - 2(q_2^2 + q_3^2) & 2(q_1q_2 - q_3q_0) & 2(q_1q_3 + q_2q_0) \\ 2(q_1q_2 + q_3q_0) & 1 - 2(q_1^2 + q_3^2) & 2(q_2q_3 - q_1q_0) \\ 2(q_1q_3 - q_2q_0) & 2(q_2q_3 + q_1q_0) & 1 - 2(q_1^2 + q_2^2) \end{bmatrix}$$

Cinemática: Rotação

Quaternions e velocidades angulares

$$\dot{\mathbf{q}} = \frac{1}{2} \mathbf{q} \otimes {}^B \overline{\mathbf{w}}$$

Matricialmente:

$${}^I \dot{\mathbf{q}} = \frac{1}{2} \mathbf{R}_2(\mathbf{q}) {}^B \mathbf{w}$$

onde,

$$\mathbf{R}_2(\mathbf{q}) = \begin{bmatrix} -q_1 & -q_2 & -q_3 \\ q_0 & q_3 & -q_2 \\ -q_3 & q_0 & q_1 \\ q_2 & -q_1 & q_0 \end{bmatrix}, \quad \mathbf{R}_2(\mathbf{q})^\top \mathbf{R}_2(\mathbf{q}) = \mathbf{I}_3$$

Dinâmica

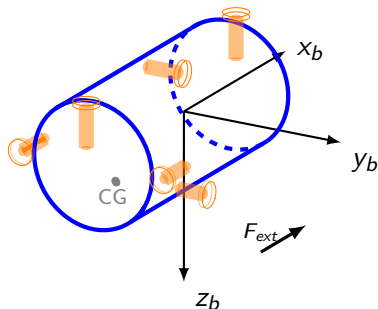
Equações de Newton-Euler para o corpo rígido:

$$m\ddot{\mathbf{p}}_{cg} = \mathbf{f}$$

$$\mathbf{I}_B \dot{\mathbf{w}} + \mathbf{w} \times \mathbf{I}_B \mathbf{w} + m \mathbf{r}_{cg} \times (\dot{\mathbf{v}} + \mathbf{w} \times \mathbf{v}) = \mathbf{m}$$

Modelo **análogo** aos robôs aéreos (quadrirrotores, dirigível), com efeitos externos adicionais.

- Dinâmica de corpo rígido
- Forças externas
- Distúrbios
- Atuadores



Dinâmica

Se o CG está à \mathbf{r}_{cg} , é possível parametrizar Newton-Euler como

$$\mathbf{M}_{rb}\dot{\boldsymbol{\nu}} + \mathbf{C}_{rb}(\boldsymbol{\nu})\boldsymbol{\nu} = \mathbf{f}_{ext}$$

Onde

$$\mathbf{M}_{rb} = \begin{bmatrix} m\mathbf{I}_3 & -\mathbf{S}({}^{\mathcal{B}}\mathbf{r}_{cg}) \\ \mathbf{S}({}^{\mathcal{B}}\mathbf{r}_{cg}) & \mathbf{I}_{\mathcal{B}} \end{bmatrix} > 0$$

$$\mathbf{C}_{rb}(\boldsymbol{\nu}) = \begin{bmatrix} m\mathbf{S}({}^{\mathcal{B}}\mathbf{w}) & -m\mathbf{S}({}^{\mathcal{B}}\mathbf{w})\mathbf{S}({}^{\mathcal{B}}\mathbf{r}_{cg}) \\ m\mathbf{S}({}^{\mathcal{B}}\mathbf{r}_{cg})\mathbf{S}({}^{\mathcal{B}}\mathbf{w}) & \mathbf{S}(\mathbf{I}_{\mathcal{B}}\mathbf{w}) \end{bmatrix}$$

Dinâmica

O vetor de forças externas pode ser particionado como segue

$$\mathbf{f}_{ext} = -\mathbf{f}_{ma} - \mathbf{f}_{arr} - \mathbf{f}_{res} + \mathbf{f}_u$$

Onde

- \mathbf{f}_{ma} é o efeito de massa adicionada
- \mathbf{f}_{arr} é o efeito de arrasto hidrodinâmico
- \mathbf{f}_{res} é o efeito das forças restaurativas
- \mathbf{f}_u são os atuadores

Considera-se também o efeito de correntes marinhas.

Massa adicionada

É a tendência de que o volume de água ao redor do veículo também acelere com ele. Visto como um ganho de massa (Lamb, 1932).

$$T = \frac{1}{2} \boldsymbol{\nu}^\top \mathbf{M}_a \boldsymbol{\nu}$$

Aplicando as equações de Kirchhoff (Lagrange), chega-se à

$$\mathbf{f}_{ma} = \mathbf{M}_a \dot{\boldsymbol{\nu}} + \mathbf{C}_a(\boldsymbol{\nu}) \boldsymbol{\nu}$$

onde,

$$\mathbf{M}_a = \begin{bmatrix} M_{11} & M_{12} \\ M_{21} & M_{22} \end{bmatrix} > 0$$

$$\mathbf{C}_a(\boldsymbol{\nu}) = \begin{bmatrix} \mathbf{0}_3 & -\mathbf{S}(M_{11}^B \mathbf{v} + M_{12}^B \mathbf{w}) \\ -\mathbf{S}(M_{11}^B \mathbf{v} + M_{12}^B \mathbf{w}) & \mathbf{S}(M_{21}^B \mathbf{v} + M_{22}^B \mathbf{w}) \end{bmatrix}$$

Arrasto Hidrodinâmico

Força de arrasto (quadrática) em fluidos:

$$f_d(u) = \underbrace{-\frac{1}{2}\rho C_d A \|u\|}_{D(u)} u$$

Forma mais completa para submarinos pode ser escrita com componentes lineares e quadráticas

$$f_{arr} = (D_l + D_q(\nu))\nu = D(\nu)\nu$$

É dissipativa, sempre

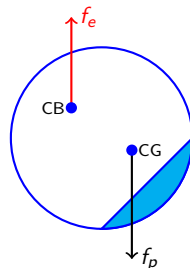
$$D(\nu) > 0$$

Forças restaurativas

Resultado da ação do binário força **peso** (${}^{\mathcal{I}}\mathbf{f}_p$) e **empuxo** (${}^{\mathcal{I}}\mathbf{f}_e$) em um veículo submerso em um fluido.

Se CG está em ${}^{\mathcal{B}}\mathbf{r}_{cg}$ e CB em ${}^{\mathcal{B}}\mathbf{r}_{cb}$, então

$$\begin{aligned}\mathbf{f}_{rest} &= \begin{bmatrix} {}^{\mathcal{B}}\mathbf{f}_p + {}^{\mathcal{B}}\mathbf{f}_e \\ \mathbf{S}({}^{\mathcal{B}}\mathbf{r}_{cg}){}^{\mathcal{B}}\mathbf{f}_p + \mathbf{S}({}^{\mathcal{B}}\mathbf{r}_{cb}){}^{\mathcal{B}}\mathbf{f}_e \end{bmatrix} \\ &= \mathbf{g}(\boldsymbol{\eta}) \quad (\text{navios, dirigíveis, etc.})\end{aligned}$$



Requisito de projeto: posicionar CG **abaixo** CB de forma que o binário seja estável.

Atuadores

São 6 atuadores: $\mathbf{u} = [u_1, \dots, u_6]^\top$.

- ${}^B\mathbf{b}_i$ versor de orientação do atuador;
- ${}^B\mathbf{p}_i$ a posição do atuador.

O vetor de esforços dos atuadores fica

$$\begin{aligned} {}^B\mathbf{f}_u &= \begin{bmatrix} {}^B\mathbf{b}_1 & {}^B\mathbf{b}_2 & \dots & {}^B\mathbf{b}_6 \\ \mathbf{S}({}^B\mathbf{p}_1) {}^B\mathbf{b}_1 & \mathbf{S}({}^B\mathbf{p}_2) {}^B\mathbf{b}_2 & \dots & \mathbf{S}({}^B\mathbf{p}_6) {}^B\mathbf{b}_6 \end{bmatrix} \begin{bmatrix} u_1 \\ \vdots \\ u_6 \end{bmatrix} \\ &= \mathbf{B}\mathbf{u} \end{aligned}$$

O modelo é **afim** no controle.

Correntes marinhas

Influenciam tanto a cinemática quanto a dinâmica. São assumidas constantes ${}^{\mathcal{I}}\mathbf{V}_c = [V_{cx}, V_{cy}, V_{cz}]^T$.

Reescrever em relação ao novo referencial inercial, com velocidade relativa é : ${}^{\mathcal{B}}\mathbf{v}_r = {}^{\mathcal{B}}\mathbf{v} - {}^{\mathcal{B}}\mathbf{v}_c$.

$$\dot{\eta} = T(\nu_r + \nu_c), \quad T = \begin{bmatrix} {}^{\mathcal{I}}R_{\mathcal{B}} & \mathbf{0} \\ \mathbf{0} & \frac{1}{2}R_2 \end{bmatrix}$$

$$\mathbf{M}_{rb}\dot{\nu}_r + \mathbf{C}_{rb}(\nu_r)\nu_r = \tau_r$$

$$\mathbf{f}_{ma} = \mathbf{M}_a\dot{\nu}_r + \mathbf{C}_a(\nu_r)\nu_r$$

$$\mathbf{f}_{arr} = \mathbf{D}(\nu_r)\nu_r$$

As forças restaurativas e os atuadores não sofrem alteração.

Modelo Completo

O modelo completo no formato de equações de estados

$$\dot{\eta} = \begin{bmatrix} {}^{\mathcal{I}}\mathbf{R}_{\mathcal{B}} & \mathbf{0} \\ \mathbf{0} & \frac{1}{2}\mathbf{R}_2 \end{bmatrix} (\boldsymbol{\nu}_r + \boldsymbol{\nu}_c)$$

$$\dot{\boldsymbol{\nu}}_r = -\mathbf{M}^{-1}[\mathbf{C}(\boldsymbol{\nu}_r)\boldsymbol{\nu}_r + \mathbf{D}(\boldsymbol{\nu}_r)\boldsymbol{\nu}_r + \mathbf{g}(\boldsymbol{\eta})] + \mathbf{M}^{-1}\mathbf{B}\mathbf{u}$$

Sendo que

- $\mathbf{M} = \mathbf{M}_{cr} + \mathbf{M}_a$
- $\mathbf{C}(\boldsymbol{\nu}_r) = \mathbf{C}_{rb}(\boldsymbol{\nu}_r) + \mathbf{C}_a(\boldsymbol{\nu}_r)$

Modelo de sensor

Um modelo genérico de sistema medida

$${}^A\mathbf{x}_m = {}^A\mathbf{R}_B(\mathbf{K}^B\mathbf{x}_r + \mathbf{b} + \boldsymbol{\omega}), \quad \boldsymbol{\omega} \sim \mathcal{N}(0, \boldsymbol{\Sigma})$$

- ${}^A\mathbf{R}_B$ é desalinhamento do sensor
- \mathbf{K} matriz de ganhos do sensor
- \mathbf{b} é polarização na medida
- $\boldsymbol{\omega}$ é ruído aleatório

Se o sensor está alinhado (${}^A\mathbf{R}_B = \mathbf{I}$), o valor correto pode ser obtido

$${}^B\mathbf{x}_r = \mathbf{K}^{-1}(\mathbf{x}_m - \mathbf{b}) + \overline{\boldsymbol{\omega}}, \quad \boldsymbol{\omega} \sim \mathcal{N}(0, \mathbf{K}^{-1}\boldsymbol{\Sigma}\mathbf{K}^{-\top})$$

Neste trabalho foram utilizados uma **IMU** e um sensor de **pressão**.

Filtro de estados

Problema de filtragem de estados:

- Para hipótese de ruído gaussiano: filtro de Kalman
 - Sistemas lineares a filtragem é ótima
 - Sistemas não lineares, EKF
- Outros ruídos, outros filtros: \mathcal{H}_∞ , partículas
- Para o Filtro de Kalman Estendido (EKF)
 - Não há garantia de otimalidade
 - Bom funcionamento: sistema bem comportado

Apesar das limitações, o **EKF** ainda é solução padrão para problemas de navegação.

EKF

Modelo geral discreto

$$\begin{aligned}x_k &= f(x_{k-1}, u_k, w_{k-1}), & w_{k-1} &\sim \mathcal{N}(0, Q) \\y_k &= h(x_k, u_k, \epsilon_k), & \epsilon_k &\sim \mathcal{N}(0, R)\end{aligned}$$

- $x_k \in \mathbb{R}^n$ estados,
- $u_k \in \mathbb{R}^m$ entradas conhecidas,
- w_{k-1} e ϵ_k ruídos,
- $y_k \in \mathbb{R}^p$ a medição,
- $f(\cdot)$ e $h(\cdot)$ funções.

O problema de filtragem

Encontrar melhor estimativa de x_k conhecendo-se y_k, y_{k-1}, \dots, y_0 .

EKF

Modelo não linear é linearizado no entorno da última estimativa

$$\tilde{x}_k = F_{k-1}\tilde{x}_{k-1} + G_{k-1}w_{k-1}$$

$$\tilde{y}_k = H_k\tilde{x}_k + L_k\epsilon_k$$

onde $\tilde{x}_k = x_k - \hat{x}_{k|k}$ e $\tilde{y}_k = y_k - \hat{y}_{k|k-1}$

$$F_k = \left. \frac{\partial f}{\partial x_k} \right|_{x_k = \hat{x}_{k|k}}, \quad G_k = \left. \frac{\partial f}{\partial w_k} \right|_{x_k = \hat{x}_{k|k}}$$

$$H_k = \left. \frac{\partial h}{\partial x_k} \right|_{x_k = \hat{x}_{k|k-1}}, \quad L_k = \left. \frac{\partial h}{\partial \delta_k} \right|_{x_k = \hat{x}_{k|k-1}}$$

O algoritmo do filtro de Kalman linear é então aplicado.

EKF

O modelo do sistema para o problema de filtragem:

$$\dot{\mathbf{p}} = {}^{\mathcal{I}}\mathbf{R}_B(\mathbf{v}_r + \mathbf{v}_c) + \delta_p, \quad \delta_p \sim \mathcal{N}(0, \Sigma_p)$$

$$\dot{\mathbf{q}} = \frac{1}{2}\mathbf{R}_2\mathbf{w}$$

$$\begin{aligned} \dot{\mathbf{v}}_r = & -\mathbf{M}^{-1}[\mathbf{C}(\mathbf{v}_r)\mathbf{v}_r + \mathbf{D}(\mathbf{v}_r)\mathbf{v}_r + \mathbf{g}(\boldsymbol{\eta})] + \\ & + \mathbf{M}^{-1}\mathbf{B}\mathbf{u} + \delta_\nu, \quad \delta_\nu \sim \mathcal{N}(0, \Sigma_\nu) \end{aligned}$$

Com medidas $\mathbf{y} = [\mathbf{h}_1; \mathbf{h}_2; \mathbf{h}_3; h_4]$, tais que

$$\mathbf{h}_1 = \dot{\mathbf{v}}_r + \mathbf{S}(\mathbf{w})\mathbf{v}_r + \epsilon_1, \quad \mathbf{h}_2 = \mathbf{w} + \epsilon_2$$

$$\mathbf{h}_3 = {}^{\mathcal{I}}\mathbf{R}_B^\top \mathbf{h} + \epsilon_3, \quad h_4 = \rho \| {}^{\mathcal{I}}\mathbf{g} \| z_i + \epsilon_4$$

Correntes marinhas

Em algumas missões do AUV, as correntes marinhas **podem influenciar** no rastreamento de trajetórias.

Para estes casos, o problema de desempenho:

- Compensar o efeito das correntes marinhas
- Sem compensação o erro de trajetória cresce linearmente com o valor da corrente

Filtros complementares:

- Muito utilizados em fusão sensorial (Brown,1972)
- O Estimador de correntes é inspirado nesta ideia

Estimador de correntes

Considera que estão disponíveis medidas da posição e da velocidade relativa do veículo com ruídos

$$\begin{aligned} {}^{\mathcal{I}}\mathbf{p}_m &= {}^{\mathcal{I}}\mathbf{p} + \boldsymbol{\omega}_p \\ {}^{\mathcal{I}}\mathbf{V}_{rm} &= {}^{\mathcal{I}}\dot{\mathbf{p}} - {}^{\mathcal{I}}\mathbf{V}_c + \boldsymbol{\omega}_v \end{aligned}$$

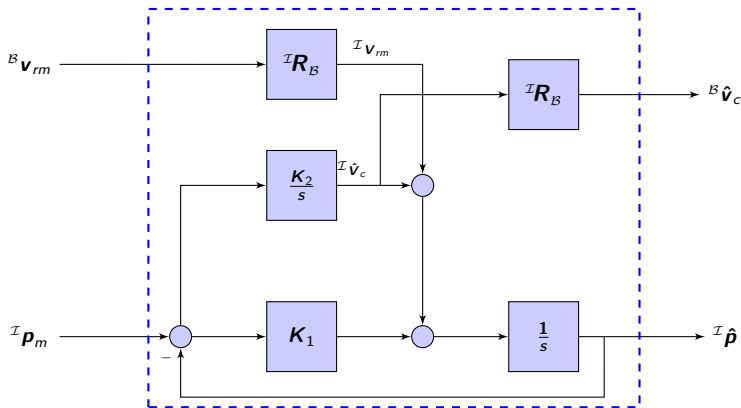
A corrente marinha é assumida constante (variação lenta). O estimador de correntes marinhas pode ser dado como:

$$\begin{aligned} {}^{\mathcal{I}}\dot{\hat{\mathbf{p}}} &= {}^{\mathcal{I}}\mathbf{V}_{rm} + \mathbf{k}_1({}^{\mathcal{I}}\mathbf{p}_m - {}^{\mathcal{I}}\hat{\mathbf{p}}) + {}^{\mathcal{I}}\hat{\mathbf{V}}_c \\ {}^{\mathcal{I}}\dot{\hat{\mathbf{V}}}_c &= \mathbf{k}_2({}^{\mathcal{I}}\mathbf{p}_m - {}^{\mathcal{I}}\hat{\mathbf{p}}) \end{aligned}$$

Com \mathbf{k}_1 e $\mathbf{k}_2 \in \mathbb{R}^{3 \times 3}$ escolhidas para garantir a convergência.

Estimador de Correntes

Observe que o filtro 'trabalha' no referencial inercial \mathcal{I} , onde as correntes são constantes

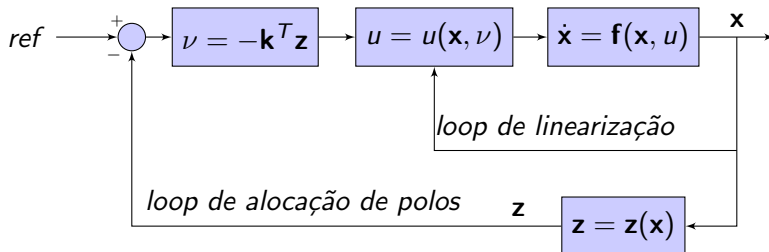


Controle

Para o controle de trajetórias:

- Controle simples: PID, LQR (modelo linearizado).
- Controle não linear: ganho em desempenho, porém com maior complexidade.

Dado o modelo não linear desenvolvido, foi escolhida a técnica de controle não linear de linearização por realimentação.



Controle

O problema de controle pode ser particionado em dois subproblemas: um rastreador cinemático e um controlador de velocidade.

Seja o modelo de controle cinemático

$$\begin{aligned}\dot{\boldsymbol{\eta}} &= \mathbf{T}(\mathbf{u}_{cin} + \boldsymbol{\nu}_c) \\ \mathbf{y}_c &= \boldsymbol{\eta}\end{aligned}$$

E o modelo de controle de velocidades

$$\begin{aligned}\dot{\boldsymbol{\nu}}_r &= -\mathbf{M}^{-1}[\mathbf{C}(\boldsymbol{\nu}_r)\boldsymbol{\nu}_r + \mathbf{D}(\boldsymbol{\nu}_r)\boldsymbol{\nu}_r + \mathbf{g}(\boldsymbol{\eta})] + \mathbf{M}^{-1}\mathbf{B}\mathbf{u} \\ \mathbf{y}_{din} &= \boldsymbol{\nu}\end{aligned}$$

Controle Cinemático

Para a cinemática de rotação:

$$\dot{\mathbf{q}} = \frac{1}{2} \mathbf{R}_2(\mathbf{q}) \mathbf{w}_{cin}$$

O controle é a velocidade angular \mathbf{w}_{cin} que faz seguir as trajetórias de orientação $\mathbf{q}_d, \dot{\mathbf{q}}_d, \ddot{\mathbf{q}}_d$. O erro de orientação é definido como

$$\tilde{\mathbf{q}} = \mathbf{q}^{-1} \otimes \mathbf{q}_d$$

Derivando, substituindo relações cinemáticas:

$$\dot{\tilde{\mathbf{q}}} = \frac{1}{2} [\tilde{\mathbf{q}} \otimes \overline{\mathbf{w}}_d - \overline{\mathbf{w}}_{cin} \otimes \tilde{\mathbf{q}}]$$

Controle Cinemático

Ao se considerar a derivada do erro como

$$\dot{\tilde{\mathbf{q}}} = \mathbf{K}_q \delta \tilde{\mathbf{q}}, \quad \delta \tilde{\mathbf{q}} = [1, 0, 0, 0]^\top - \tilde{\mathbf{q}}$$

E considerando a velocidade angular de referência da seguinte forma

$$\mathbf{w}_d = 2\mathbf{R}_2^\top(\mathbf{q}_d)\dot{\mathbf{q}}_d$$

Obtém-se a lei cinemática de controle de orientação

$$\mathbf{w}_{cin} = [\otimes \tilde{\mathbf{q}}]^\top \{[\tilde{\mathbf{q}} \otimes] \mathbf{w}_d - 2\mathbf{K}_q \delta \tilde{\mathbf{q}}\}$$

Controle Cinemático

Já para a cinemática de translação tem-se

$$\dot{\mathbf{p}} = {}^{\mathcal{I}}\mathbf{R}_{\mathcal{B}}(\mathbf{v}_{cin} + \mathbf{v}_c)$$

O controle é a velocidade linear \mathbf{v}_{cin} que faz seguir as trajetórias $\mathbf{p}_d, \dot{\mathbf{p}}_d$.

Dado o erro de posição

$$\tilde{\mathbf{p}} = \mathbf{p} - \mathbf{p}_d$$

É possível definir a seguinte lei de controle

$$\mathbf{v}_{cin} = {}^{\mathcal{I}}\mathbf{R}_{\mathcal{B}}^{\top}(\dot{\mathbf{p}}_d - \mathbf{K}_p \tilde{\mathbf{p}}) - \mathbf{v}_c$$

Controle Cinemático

De fato, a malha fechada é a equação da dinâmica do erro de posição:

$$\ddot{\tilde{\mathbf{p}}} + \mathbf{K}_p \tilde{\mathbf{p}} = 0$$

Ao se escolher a matriz de ganhos apropriadamente, o erro convergirá para zero.

Por fim, a lei de controle cinemática é dada por

$$\mathbf{v}_{cin} = \begin{bmatrix} \mathbf{v}_{cin} \\ \mathbf{w}_{cin} \end{bmatrix} = \begin{bmatrix} {}^{\mathcal{I}}\mathbf{R}_B^{\top}(\dot{\mathbf{p}}_d - \mathbf{K}_p \tilde{\mathbf{p}}) - \mathbf{v}_c \\ [\otimes \tilde{\mathbf{q}}]^{\top} \{ [\tilde{\mathbf{q}} \otimes] \mathbf{w}_d - 2\mathbf{K}_q \delta_{\tilde{\mathbf{q}}} \} \end{bmatrix}$$

Controle dinâmico

A partir do modelo dinâmico, e utilizando a técnica de Linearização por realimentação, obtém-se

$$\begin{aligned}\dot{\mathbf{y}}_{din} &= \dot{\mathbf{v}}_r \\ &= -\mathbf{M}^{-1}[\mathbf{C}(\mathbf{v}_r)\mathbf{v}_r + \mathbf{D}(\mathbf{v}_r)\mathbf{v}_r + \mathbf{g}(\boldsymbol{\eta})] + \mathbf{M}^{-1}\mathbf{B}\mathbf{u} \\ &= \mathbf{F}(\boldsymbol{\eta}, \mathbf{v}_r) + \mathbf{A}(\boldsymbol{\eta})\mathbf{u}\end{aligned}$$

tais que os campos vetoriais são :

$$\begin{aligned}\mathbf{F}(\boldsymbol{\eta}, \mathbf{v}_r) &= -\mathbf{M}^{-1}[\mathbf{C}(\mathbf{v}_r)\mathbf{v}_r + \mathbf{D}(\mathbf{v}_r)\mathbf{v}_r + \mathbf{g}(\boldsymbol{\eta})] \\ \mathbf{A}(\boldsymbol{\eta}) &= \mathbf{M}^{-1}\mathbf{B}\end{aligned}$$

Controle dinâmico

Por fim, seja o erro de velocidade:

$$\tilde{\nu} = \nu - \nu_d$$

Então a seguinte lei de controle lineariza a equação dinâmica e já inclui o rastreamento de trajetória

$$\mathbf{u} = \mathbf{A}^{-1}(\boldsymbol{\eta})[\dot{\nu}_d + \mathbf{K}_\nu \tilde{\nu} - \mathbf{F}(\boldsymbol{\eta}, \nu_r)]$$

A malha fechada resulta na dinâmica do erro de velocidade:

$$\dot{\tilde{\nu}} + \mathbf{K}_\nu \tilde{\nu} = 0$$

Controle dinâmico

1. Calcular a velocidade desejada e sua derivada:

$$\boldsymbol{\nu}_d = \begin{bmatrix} {}^I\mathbf{R}_B^\top (\dot{\mathbf{p}}_d - \mathbf{K}_p \tilde{\mathbf{p}}) - \mathbf{v}_c \\ [\otimes \tilde{\mathbf{q}}]^\top \{ [\tilde{\mathbf{q}} \otimes] \mathbf{w}_d - 2\mathbf{K}_q \delta \tilde{\mathbf{q}} \} \end{bmatrix}$$

$$\dot{\boldsymbol{\nu}}_d = \frac{d\boldsymbol{\nu}_d}{dt}$$

2. Calcular o sinal de controle da malha de velocidade

$$\boldsymbol{\xi} = \dot{\boldsymbol{\nu}}_d + \mathbf{K}_\nu \tilde{\boldsymbol{\nu}}$$

3. Por fim, o esforço de controle

$$\mathbf{u} = \mathbf{A}^{-1}(\boldsymbol{\eta})[\boldsymbol{\xi} - \mathbf{F}(\boldsymbol{\eta}, \boldsymbol{\nu}_r)]$$

onde

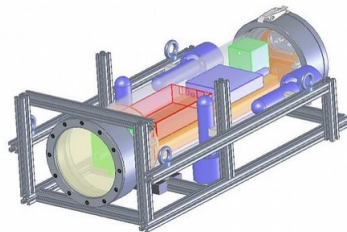
$$\mathbf{F}(\boldsymbol{\eta}, \boldsymbol{\nu}_r) = -\mathbf{M}^{-1}[\mathbf{C}(\boldsymbol{\nu}_r)\boldsymbol{\nu}_r + \mathbf{D}(\boldsymbol{\nu}_r)\boldsymbol{\nu}_r + \mathbf{g}(\boldsymbol{\eta})]$$

$$\mathbf{A}(\boldsymbol{\eta}) = \mathbf{M}^{-1}\mathbf{B}$$

Resultados

As simulações consideraram o modelo do veículo RSM com os parâmetros:

Parâmetro	Valor	Descrição
r	$0.1(m)$	raio
L	$0.6(m)$	comprimento
m	$18.71(kg)$	mas. seca
V	$18.85(dm^3)$	volume
ρ	$998(\frac{kg}{m^3})$	dens. água
g	$9.81(\frac{m}{s^2})$	acc. gravidade
c_d	0.8	arr. axial
c_{dc}	1.2	arr. long.
γ	1.005	flutuação
p_{cg}	$[0, 0, 1/80]^T (m)$	CG
p_{cb}	$[0, 0, 0]^T (m)$	CB



O modelo foi implementado em Matlab, com integração de Euler, passo de $T_s = 0.001s$ e os algoritmos desenvolvidos com taxa de atualização e de aquisição de $100Hz$.

Resultados

Os parâmetros dos algoritmos desenvolvidos:

- Filtro de correntes: $K_1 = 20I_3$, $K_2 = 100I_3$
- EKF: processo $Q_p = 0.1I_3$, $Q_q = 0.1I_4$, $Q_v = 0.1I_3$, $Q_w = 0.1I_3$ e medidas $R_a = 10^{-4}I_3$, $R_m = 10^{-4}I_3$, $R_w = 10^{-1}I_3$, $R_b = 0.1$
- Controlador: $K_p = 10I_3$, $K_q = 10I_4$, $K_v = 10I_3$

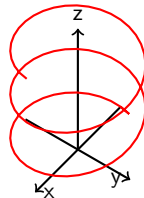
A trajetória de referência é helicoidal (inspeção riser):

$$x_d = R \sin(w_r t)$$

$$y_d = -R \cos(w_r t)$$

$$z_d = v_r t$$

$$\mathbf{q}_d = [\cos(w_r t/2), 0, 0, \sin(w_r t/2)]^T$$



onde foram escolhidos $R = 3m$, $w_r = 1/2 rad/s$ e $v_r = 0.1m/s$.

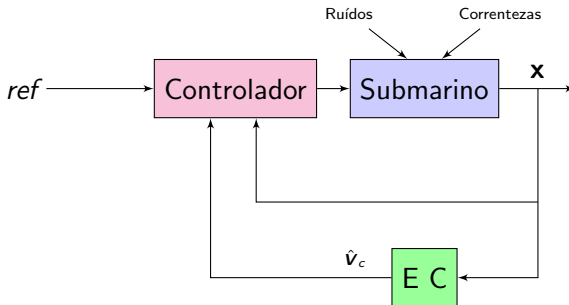
Resultados

Caso 1: Realimentação de estados (com adição de ruído)

1. desempenho do estimador de correntes
2. controlador com estimação de correntes

Caso 2: Realimentação de Saída

1. desempenho do EKF
2. controle + EKF
3. sistema completo



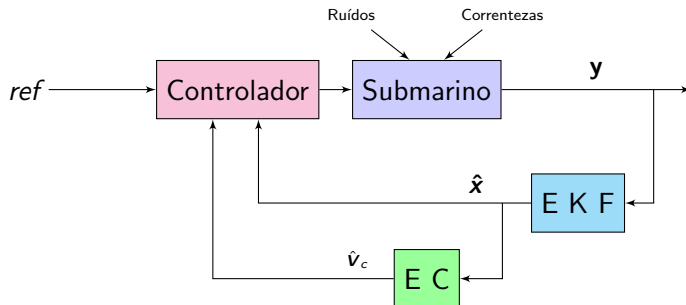
Resultados

Caso 1: Realimentação de estados (com adição de ruído)

1. desempenho do estimador de correntes
2. controlador com estimação de correntes

Caso 2: Realimentação de Saída

1. desempenho do EKF
2. controle + EKF
3. sistema completo



Resultados

Caso 1: Realimentação de estados (com adição de ruído)

1. desempenho do estimador de correntes
2. controlador com estimação de correntes

Caso 2: Realimentação de Saída

1. desempenho do EKF
2. controle + EKF
3. sistema completo

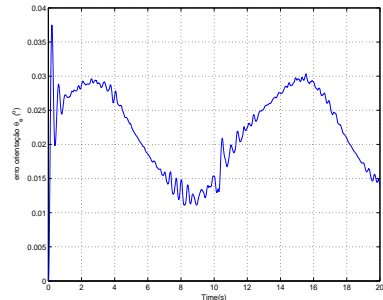
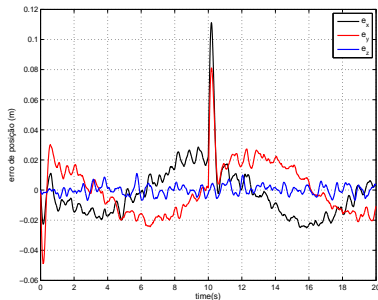
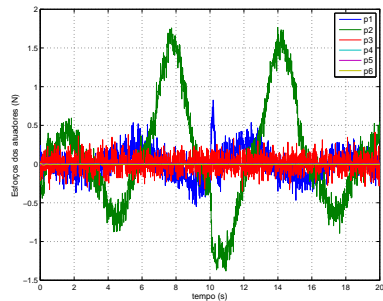
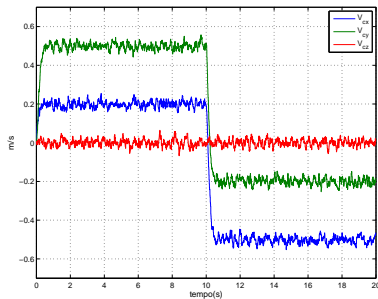
Correnteza com variação abrupta: testar convergência do filtro de correntes

$$V_{cx} = 0.2(t \leq 10) - 0.5(t > 10)$$

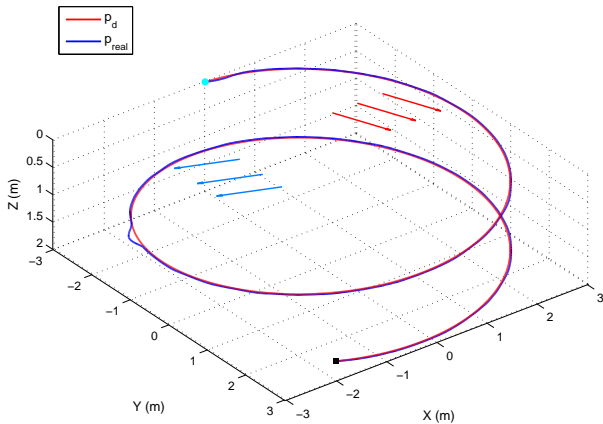
$$V_{cy} = 0.5(t \leq 10) - 0.2(t > 10)$$

$$V_{cz} = 0$$

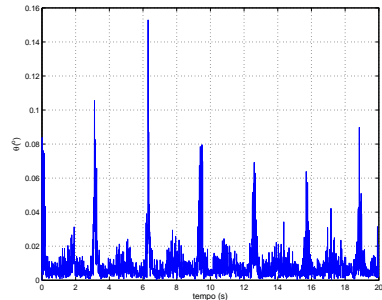
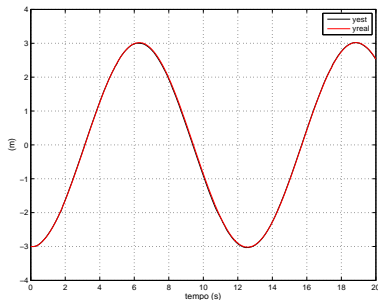
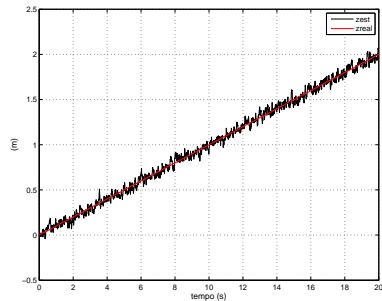
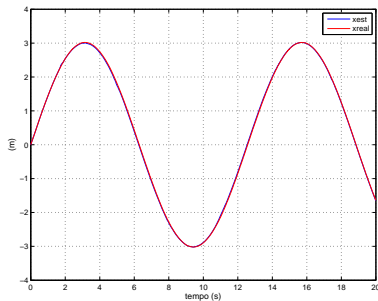
Resultados: caso 1



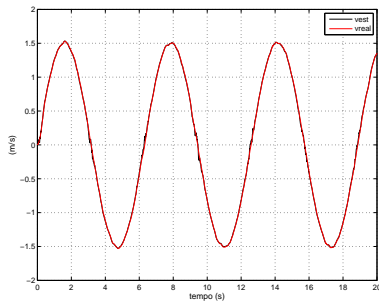
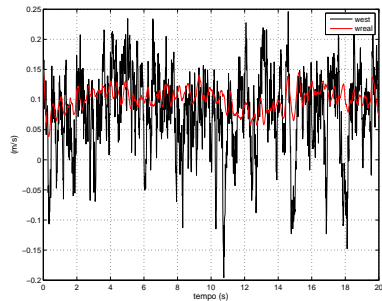
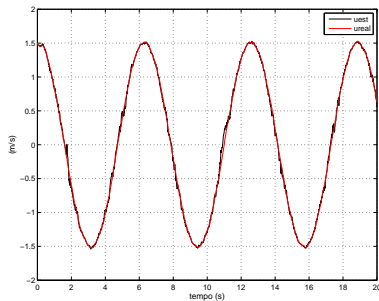
Resultados: caso 1



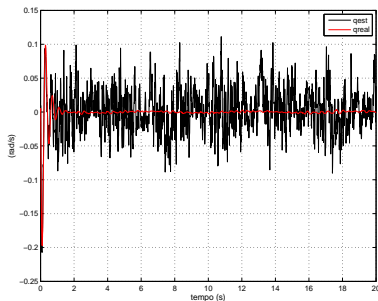
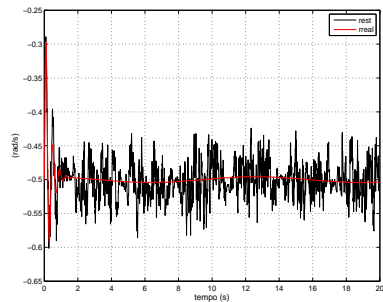
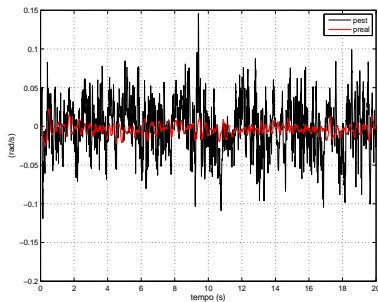
Resultados: caso 2



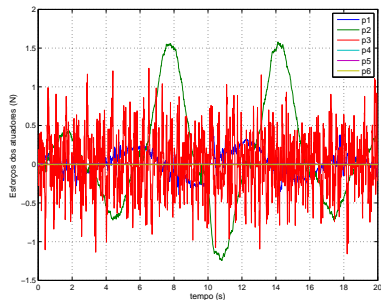
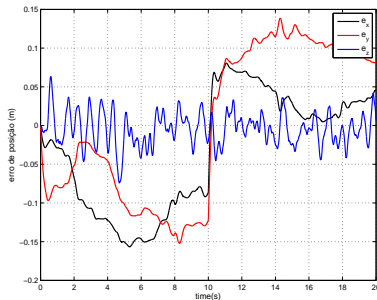
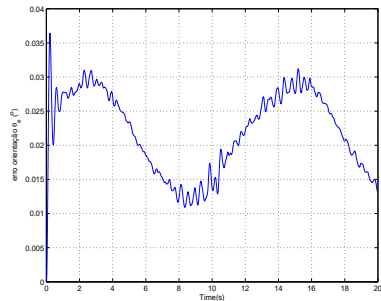
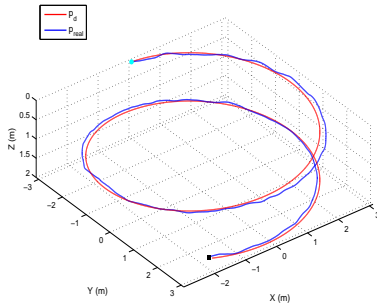
Resultados: caso 2



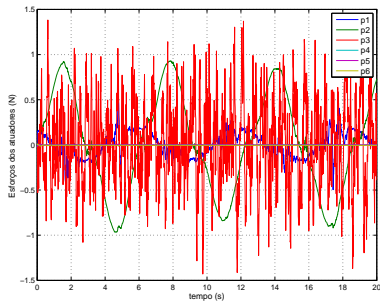
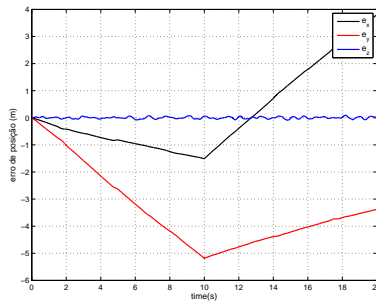
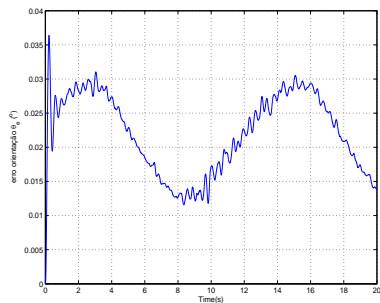
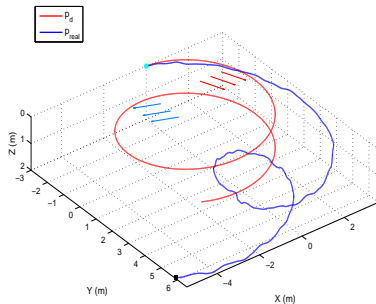
Resultados: caso 2



Resultados: caso 2



Resultados: caso 2



Conclusões

- Os algoritmos propostos foram implementados e testados em simulação.
- Proposta deste trabalho: desenvolver os algoritmos de controle e filtragem para o AUV para o problema de controle de trajetória.
- A implementação modular auxilia no entendimento do problema
- Estudo e implementação do modelo utilizando quaternions
- O uso do modelo dinâmico de translação foi proposto no EKF
- Como resultado do modelo, a associação EKF + EC deve incluir sonar (info posição)

Trabalhos futuros

- Incluir efeitos de superfície e de ruídos no modelo (ondas, não gaussiano)
- Implementar novas técnicas de integração de quaternions
- Aplicar Técnicas de controle robusto, para os filtros e controlador
- Integrar o estimador de correntes ao filtro de estimação de estados
- Considerar o problema de controle de trajetórias do AUV com subatuação

Fim

Obrigado!